组

西藏羊八井热田的热储模式分析

沈 显 杰 王 自 瑞

(中国科学院地质研究所,北京) (西藏地热地质大队,拉萨)

摘 要

通过对羊八井热田浅层热储及下伏花岗岩基温度场的分析,阐明了热田南北两部分热储特性的差异性和热液补给的同源性,进一步得出:念青唐古拉山前断裂带和唐山山前断裂带是热田的边界控制构造,而热储内的第四系岩性分布则是热储特性的主要控制因素。依热田内深孔温度资料,建立了深及 3.3 km 的基岩区传热模式,应用非稳定热传导和热量平衡原理,粗略估算出最近一次热液侵入浅层热储的年代约为距今数万年左右,是青藏高原最新的深部热活动在近代构造应力作用下的地表显示。

羊八井热田是念青唐古拉山南缘串珠状地热显示区中较大的一个,属喜马拉雅地热带的东冀. 热田内地热显示形式繁多,类型齐全,是一个面积较大、分布集中、埋藏浅,具有一定自动起喷能力的高温热水型热田. 目前已建成装机容量为1万瓩的地热发电厂,并向拉萨并网送电.

有关该区的区域地质背景和热田地质构造已有大量著述^{(1-5),(1),2)},此处不赘引,仅强调指出,在青藏高原近代地壳运动的控制下,区内呈现强烈的新构造运动、地震活动性和水热活动。对羊八井热田热储模式的探讨,不仅为热田勘探开发所必需,且将为研究高原近期构造演化和深部热活动提供一定的例证。

一、问题的提出

经多年热田勘探、研究和试开发,初步阐明羊八井热田的性质和规模,但要进一步勘探和 开发,尚须查明下列各点:

- 1. 热储的类型和范围 包括: (1) 热储属静态封闭型抑或动态再生型; (2) 下伏花岗岩体是热传导介质,或本身即为可供开发之热储体的一部分; (3) 热田南北侧和东西翼边界的性质.
- 2. 热源和通道 一般断裂构造是热源体向上输送热液的理想通道,但热田内存在多级断裂构造,哪一级断裂构造起通道作用,不仅决定着热田的成因模式,而且直接影响进一步的勘探方向和资源开发方式。

本文 1983 年 2 月 23 日收到, 1984 年 2 月 6 日收到修改稿。

¹⁾ 杨期隆,试论西藏羊八井地热田的成因,1979年。

²⁾ 王自瑞, 西藏 羊八井地热田控热构造与水文地质特征, 1979年.

3. 热田结构的不均一性 为查明热水资源在热储体中的分配特点,必须确定控制热储温度、压力和渗透性分布的主要因素。

目前,有关羊八井热田的成因模式可归纳为以下三种:

- (1) 断裂构造控制、垂直输热模式,认为地热异常带,地热异常区,地热田及热田通道的赋存位置,均受各级断裂构造及其复合交汇部位所控制;羊八井热田的控热构造是一组基底帚状构造,热液沿这些张性交汇断裂带,以垂直上涌方式储集于浅层热储内形成热田[2-4].
- (2) 隆起带下伏潜火山活动热源模式,认为从硫磺矿到 317 钻孔一带,存在一个北西向隆起带,通过一系列断裂,与下伏近期岩浆囊或潜火山相通,构成强大热源;大气降水经深循环至热源区加热后,通过垂直张性基岩裂隙,以垂向脉状流动回返浅部,形成热储¹⁾.
- (3) 硫磺矿岩浆热源、侧向输热模式,认为硫磺矿一带有第四纪岩浆体上侵,冷水的侧向补给流经深部加热,并与岩浆体析出的少量高温水、汽相混合后,形成混合热流体,以重力流形式,自北向南集中补充浅层热储²。

本文作者认为,制定热田模式之最直接而有效的方法,是进行温度场的分析. 热田内目前的温度场,包含着有关热源、通道、热水的运动方式和补给速率等多种信息;根据热田内的温度分布,辅以适当的分析计算,反演到水热活动的初始条件及其演化的概况,是一种值得探索的方法,至少可以作为确定热田模式的补充手段.

二、羊八井热田热储温度分布特征

1. 温度的垂向分布特征

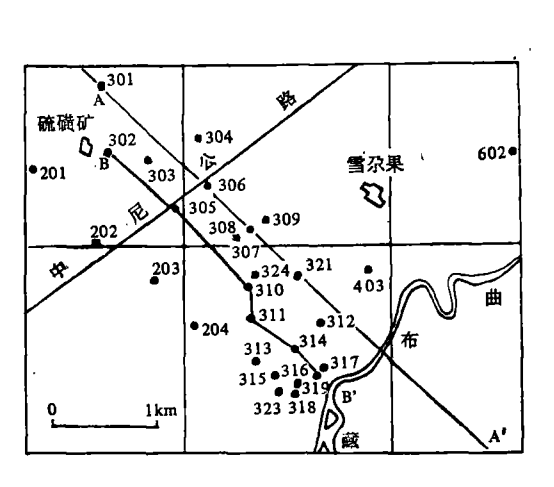


图 1 羊八井热田钻孔位置图

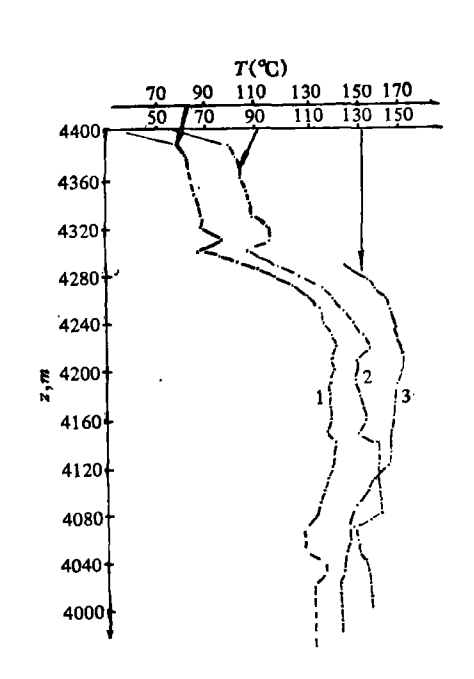


图 2 羊八井热田第四系热储平均温度-深度曲线 1---全热田平均温度曲线;2---北区平均温度 曲线;3---南区平均温度曲线

¹⁾ 西藏羊八井热田地质工作汇报提纲,1981年。

²⁾ 杨期隆,试论西藏羊八井地热田的成因,1979年。

按热田内 22 个钻孔 (图 1) 的实测温度资料,作出浅部热储的平均温度-深度曲线(图 2)。图 2 中全热田平均温度-深度曲线指明了整个热储内温度垂向分布的以下特点:

- (1) 热储平均温度在垂向上出现明显峰值,最高平均温度 144℃ 左右,反映热储内流体的平面流动特性,热源来自侧向补给,属重力流;主峰值上下各有一个局部温度突起,说明热储内可能存在一个以上流径不一的载热流体.
- (2) 各钻孔相同层位处温度的离散及曲线呈波状起伏,说明热储温度分布的不均一性,间接反映出羊八井热田不属于静态封闭型热储,而具有动态热对流特征.
- (3) 热储温度主峰值上下,分别形成明显的正、负温度梯度,表明热储垂直向上、向下均有热量散失,前者远大于后者.

热田南部和北部(区界大致沿 202, 307, 308, 309 钻孔一线)的平均温度-深度曲线形态不同(图 2): (1)南区的曲线上峰值明显,平均温度较高(151℃);北区温度峰值不甚明显,呈波状起伏,平均温度较南部低(141℃);(2)南区最高平均温度点标高约 4,200 m;北区埋藏较深,在 4,080—4,140 m 段(已部分波及基岩);(3)南区曲线的下部呈明显的温度倒转,北区除个别钻孔外,似乎不存在温度倒转现象。这些特征表明,北部基岩受侧向传热而升温的效应明显,基岩顶部裂隙发育,可能构成水平向输送热水的次通道。

308 深孔温度-深度曲线(图 3)的形态表明,浅部 埋深约 150 m 处峰值明显,自 200 m 向下温度 剧降,500—800m 段温度稳定在 119—120℃ 左右,800 m 向下开始回升,其梯度略高于正常区增温梯度.

2. 温度在剖面中的分布特征

岩性-温度剖面给出温度场的二维平面分布特征, 据此可勾绘出温度在三维空间的分布,从而指明热水 在储体内的流动方向和特征,及其与岩性、断裂构造等 的关系.图4中仅给出众多剖面中的一例。

热储内热水赋存于砾卵石、砂砾石中,而高温热水则往往储集于泉胶砂(砾)岩中.在北部,新构造运动使泉胶砂(砾)岩的位置高于目前的高温段。这种特定岩性带与高温段的复合,意味着泉胶砂(砾)岩可能是深成热液的核心部分侵入第四系沉积层的轨迹.泥砾

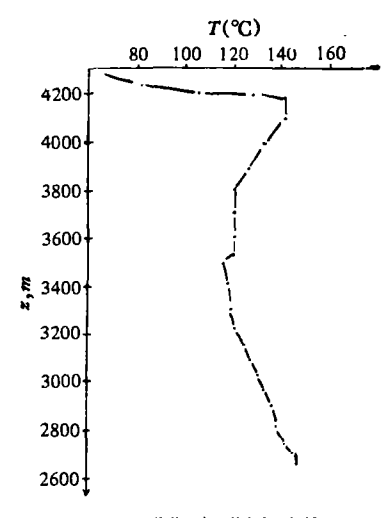


图 3 308 孔温度-深度曲线

层呈不规则的透镜体分布于热田中部,构成南北二区大致的阻流隔热边界,也是上下热储体相对的隔水层. 粘土层仅在热田南部沉积,构成热储的盖层,使南部热储具承压自喷能力;北部既无粘土盖层,也不能自动起喷(除个别孔外),反映出南北二区热储具有不同的压力特征.

图 4 还表明, 浅部热储分别受西北、东南两侧的热水补给, 两脉高温热水呈相向交汇分布. 热田南部熔结凝灰岩界面与等温面基本平行, 进入基岩区温度降低; 北部基底花岗岩顶面几乎与等温面直交, 说明南区基岩的渗透性及裂隙的发育程度均差于北部.

3. 温度在平面上的分布特征

热储最高温度等值线形态(图 5) 表明,热田北部和南部各形成一个舌状高温脉,南北二脉高温热水在中部汇合。北脉以 301,302,303 孔为中心,分东西两支向东南延伸,西支宽而短,

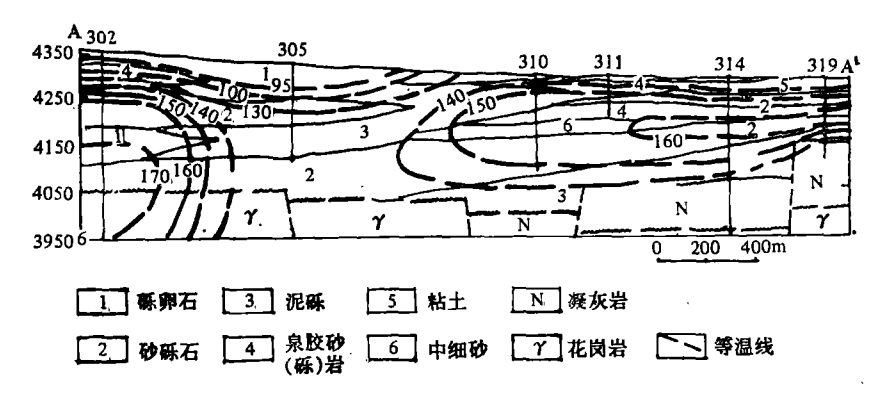


图 4 羊八井热田岩性-温度剖面图 A-A'(图 1)

不超越中尼公路;东支窄而长,延至 308 孔以南。南脉大致以 310, 314, 313 孔为中心,向西北延展,形成宽展的舌状脉。

热储温度在 4,150m, 4,200m 和 4,250 m 三个不同标高处的等温线(图略)形状,与热储最高温度等值线的形态类型相似,均呈两脉三支相向交错舌状延伸,至热田中部汇合. 这一现象表明在上述深度区段内温度分布具有相对的稳定性. 南北两脉热水等温线分别向西北和东南敞展,说明热水的补给分别来自东南和西北二个方向. 至于南北两脉交汇处高温区变窄,主要由于侧向的冷水掺混作用所致,因而,越靠近舌中心,温度越高.

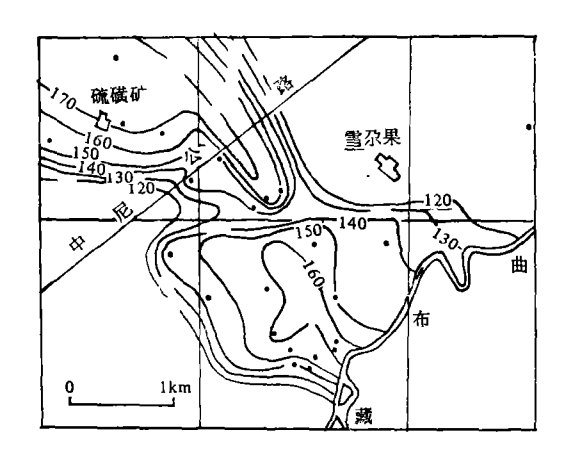


图 5 热储最高温度等值线图

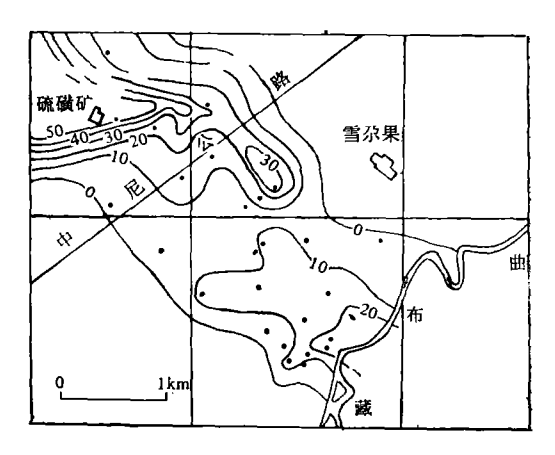


图 6 胶结岩占第四系厚度的百分含量等值线图

4. 控制热储温度分布的主要因素

念青唐古拉山前及唐山山前断裂带,可能是控制第四系高温热水型热储分布范围的边界断裂,它们既是深部热液上涌的主通道,又是向第四系热储集中输热输水的源头.靠近北部边界断裂的北西向张性断裂,可构成局部的热水运动通道.既然热储具侧向集中补给水平对流动态特性,显然,热储体在水平方向上的渗透性能是控制热田内高温热水的流动性,也即热焓补充速率的主要因素.因此,浅部热储中第四系岩性的空间配置是热储温度的首要控制因素.岩性在垂向剖面中的配置,决定热田属封闭型或开启型及相应的压力特性;而在平面上的配置则是控制载热流体分布范围及其温度的主要因素.

图 6 中,泉胶砂(砾)岩(和其它的胶结岩类)占第四系厚度的百分含量等值线的圈闭形态,与图 5 中最高温度等值线的形态基本一致,进一步证实二者似有内在联系. 然而,泉胶砂(砾)

岩的分布范围大于目前热储内高温区的分布 范围,说明自热液初始侵入以来,高温热水区 的分布范围日益收缩,温度亦相应降低。

泥砾层虽具有弱透水性,但在动态型热储中仍起阻流隔热作用。图 7 所示的泥质岩类占第四系厚度的百分含量低值区(<20%)的分布范围,与高温区分布范围基本吻合,泥质含量较高的地段,温度最低,同样证实岩性配置对温度的控制作用。

热储内温度分布尚取决于侧向的热水补 给强度,北部的补给强度大于南部,且距补给 源较南部近,热水在运动过程中的累计温度

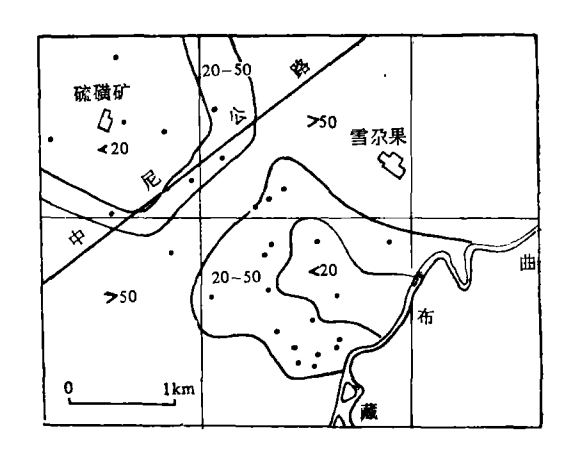


图 7 泥质岩类占第四系厚度的百分含量分区图

损耗较小,致使热田北部热水的最高温度高于南部约 10℃ 左右. 其它诸如热水在流动过程中的垂直向上、向下的热量散失强度,及流径途中边缘及两翼冷水掺混的程度等,均是影响热储温度的可能因素.

三、羊八井热田的热储模式及模式概算

1. 热储模式

根据上节温场分析,结合区域地质资料、纵贯热田南北的地质剖面(图 8),和 308 深钻孔和其它中深钻孔温度随深度的分布(图 3),作者提出一种"同源异途南北热液补给、水平对流动态型"热储模式,它集中概括了下述特点:南北边界断裂为输送热液的主通道,构成热田南北边界,向深部延伸,推断两者同源于现代地壳上部的岩浆囊,或局部熔融物质上侵的壳内热源;东西两翼为冷热水混合的热力学边界;在热储内部,热水的运动方式受岩性及渗透性控制,属于水平对流动态型热储;下伏的花岗岩体主要为热传导介质,虽可能存在局部的热水上涌通

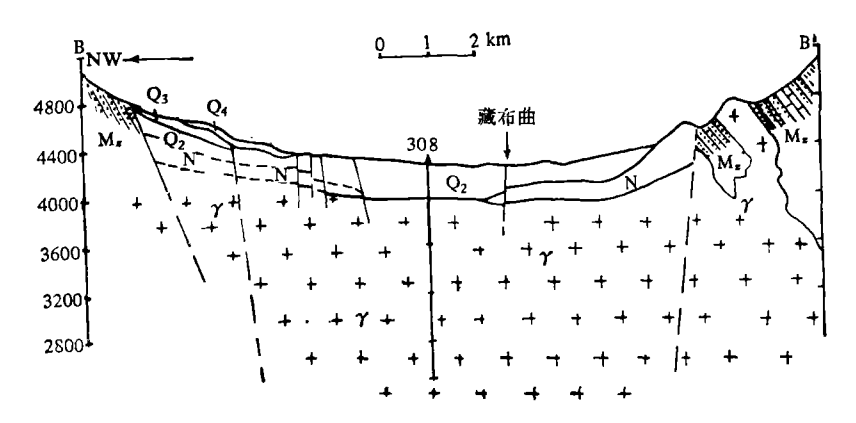


图 8 羊八井盆地地质剖面示意图 B—B'(图 1)

r——花岗岩; N——第三系凝灰岩; Q——第四系砾岩、砂砾、砂、泥砾; M₂——中生代石英岩、板岩、砂板岩。

道,但并非热田的主要控制构造,

上述模式也为羊八井热田共 42 个钻孔及泉点水化学资料所证实(图9). 由图 9 可见,第

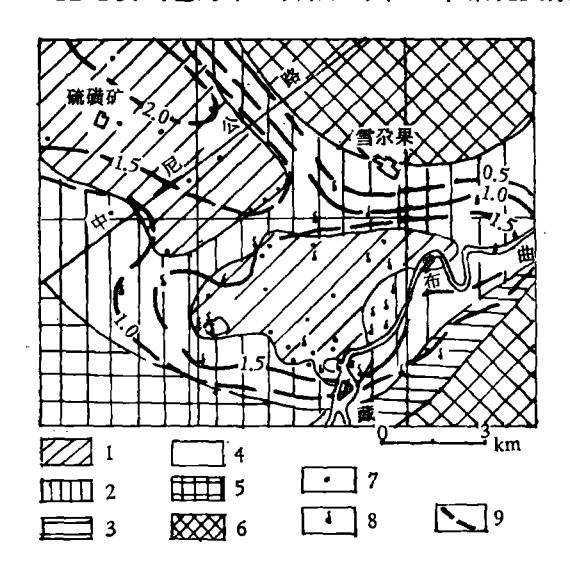


图 9 羊八井热田钻孔及泉点水化学类型 分区及矿化度等值线图

1—Cl-Na 水; 2—Cl-HCO₃-Na 水; 3—HCO₃-Cl-Na 水; 4—SO₄-Na 水; 5—HCO₃-Ca-Mg 水; 6—HCO₃-Ca-Na 水; 7—钻孔; 8——泉点; 9—矿化度 (g/l) 等值线. 四系热储水的水化学类型属于 CI-Na 型,反映了深源或深循环的环境,虽南北分片补给,但类型和矿化度基本一致;边缘冷水的掺混,使矿化度降低,Cl-Na 型水逐渐过渡为Cl-HCO₃-Na 型水;藏布曲以南出现 HCO₃-Cl-Na 型水,表明南部山前带的冷水混合强于北部.热田南部局部出现 SO₄-Na 或 SO₄-Cl-Na 型水,且矿化度偏高,可能反映沿北西向张性断裂有局部的浅层水热活动环境.

作者检验了 Cl⁻, F⁻ 离子和 HBO₂ 和 SiO₂ 含量的分布规律,所得的等值线与图 9 中的形态相近,再次证实热储内确实存在南北两脉高温热水,及其化学组分上的同源性,

2. 模式概算

308 钻孔深 1,724 m, 在热田内 位置 适中, 其深孔测温资料提供许多热田内最后一次热活动的信息。 图 10 中给出该钻孔中温度-深度曲线随时间演变的示意图。 标高2,700m 以上段采用实测温度资料,在3,200—

3,800m 段出现温度波动段,其上温度梯度明显倒转,其下,温度以接近于正常的梯度随深度递增,说明自最近一期热液侵入浅层热储以来,有部分热量向下传导至花岗岩体的上部,目前温度扰动波及深度约1,100m 左右.图 10 中尚给出推测的原始温度-深度曲线,取地表多年平均

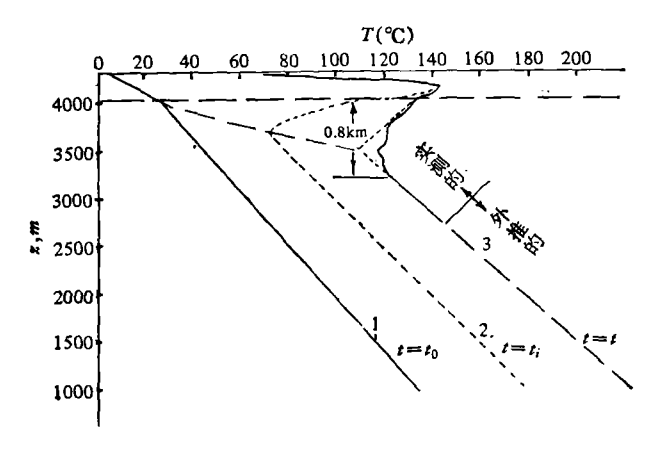


图 10 308 钻孔温度-深度曲线随时间演变的示意图 1—— $t=t_0$,推测的原始温度-深度曲线; 2—— $t=t_i$,某时刻的温度-深度曲线; 3—— $t=t_2$,目前的温度-深度曲线。

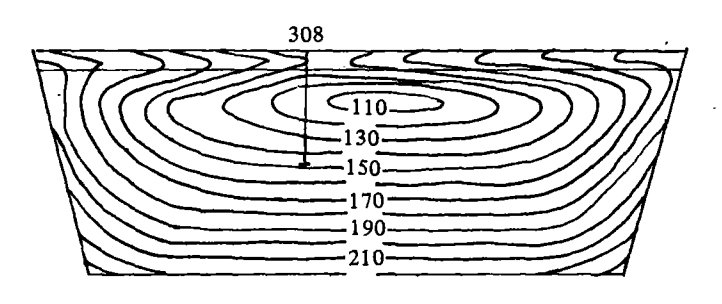


图 11 羊八井热田 3.3 km 范围内的温度分布模式

为概算 $1, q_2$ 和 q_3 三项参数,需将热田实际的地质条件进行模式概括,以确定计算模型的 边界条件和温度及几何参数。图 11 即根据 308 钻孔及热田内中深井测温资料,结合边界断裂 的产状、热田的分布范围推测的二维平面温度场,或称为羊八井热田的温度分布模式。模式中取第四系热储厚度为 0.3 km,热储南北长 9.6 km,两侧边界断裂倾角均为 75 度。 计算是在基岩传导区内进行的,为此,将上述模式进一步简化为图 12 的基岩传导区计算模型。图 12 中 $q_1 = 2.1$ HFU 假定为已知, q_2 和 q_3 前已定义,边界断裂简化为直角边界,因此 q_2 为相应的水平分量,模型的宽度和高度分别为 8.6km 和 3.0km,模型厚度取为 1km。

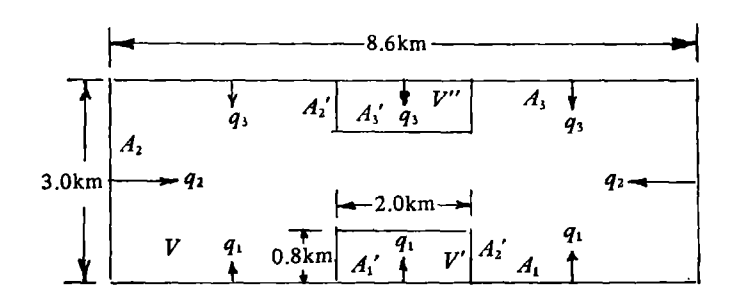


图 12 羊八井热田基岩传导区的计算模型

根据图 12 的计算模型,可建立下列三个不同计算区的热量平衡方程式:

整个传导区
$$(V)$$
: $(2q_2A_2+q_3A_3)t=c\rho V\Delta T_V$, (1)

线性传导区
$$(V')$$
: $2q_2A'_2(t-t') = c\rho V'\Delta T_{V'}$, (2)

温度倒转区
$$(V'')$$
: $(q_3A'_3 - q_1A'_1) = c\rho V''\Delta V_{V''}$, (3)

式 (1) -(3) 中, V, V' 和 V'' 为各计算区的体积, A'_1 , A'_2 , A'_3 , A_2 和 A_3 为各相应传热界面的

面积,c 为岩石的比热, $c=0.2\mathrm{Cal/g}\cdot \mathbb{C}$, ρ 为岩石密度, $\rho=2.5\mathrm{g/cm^3}$, ΔT_V 为 V 体积内岩石在 t 时段内的增温值, ΔT_V 为 V 体积内岩石的增温值, $\Delta T_{V''}$ 为 V'' 体积内岩石由热储向下传导的过剩热量引起的附加增温值。 t' 为热量由模型两侧边界传到 V' 和 V'' 计算区侧向边界所需的时间,根据非稳定热传导理论,温度传播可由下式表示之:

$$T = T_0 \operatorname{erfc}\left(\frac{Z}{2\sqrt{\alpha t}}\right) \tag{4}$$

式 (4) 中 T_0 为原始温度扰动量,当 $\left(\frac{Z}{2\sqrt{\alpha t}}\right) \approx 3$ 时,Z 处的原始温度开始受到扰动,在我

们的计算中令 t'=t, 取介质的热扩散率 $\alpha=\frac{K}{c\rho}=0.012~{\rm cm}^2/{\rm s}$, $Z=3.3~{\rm km}$ (见图 12), 求得 $t'\approx 3.025\times 10^{11}{\rm s}$.

根据图 10-12,可求得式(1)—(3)中的各项参数: $A_1' = A_3' = 2.0 \times 10^{10} \text{cm}^2$, $A_2' = 0.8 \times 10^{10} \text{cm}^2$, $A_2 = 3.0 \times 10^{10} \text{cm}^2$, $A_1 = A_3 = 8.6 \times 10^{10} \text{cm}^2$, $V' = V'' = 1.6 \times 10^{15} \text{cm}^3$, $V = 25.8 \times 10^{15} \text{cm}^3$, $\Delta T_V = 90^{\circ}$, $\Delta T_{V'} = 75^{\circ}$, $\Delta T_{V''} = 13^{\circ}$.

联立(1),(2)和(3)式,解出 $t = 3.85 \times 10^{11} \text{ s} \doteq 12,000 \text{ y}, q_2 \doteq 45 \text{HFU}, q_3 = 3.45 \text{HFU}.$

四、结 语

通过对区域地质资料和钻孔实测温度资料的系统分析,建立了羊八井热田第四系热储的"同源异途南北热液补给、水平对流动态型"热储模式,钻孔和泉点水化学资料印证了这一模式.对下伏花岗岩体的温度场进行了推算,通过侧向传热、上下热传导补给模式的概算,初步确定了第四系热储最近一期强烈的水热活动约始于12,000 y前,延续至今仍方兴未艾。由于:(1)概算中采用二维平面热传导计算模式,忽视了东西两翼冷水活动对温度场的可能影响。

(2) 目前计算参数尚有较大的不确定性,因此上述水热活动年代的数值仅可视为初步概算值; 然而数值的量级表明,羊八井热田是一个非常年青的、近代尚有强烈热液侵入活动的动态型热 田,其最近一期热液侵入的年代,最可能是晚更新世末期. 自热液侵入以来,由于强烈的地表 热显示和水热活动,以及边缘冷水的侵入和混合,热田的规模和活动性虽略有下降,但目前仍 是喜马拉雅地热带东翼一个十分活跃的、有开发前途的热田. 其成因模式对地热带内相邻的 地热异常区,可能具有一定代表性.

概算中所得的 q_2 和 q_3 数据表明,热田南北两侧主通道的侧向传导热流量,约为正常区大地热流值的60倍左右,比热储垂直向下的平均传导热流量约大 25 倍,说明羊八井第四系热储具备充足的热量补充速率。在侧向热交换的持续作用下,花岗岩体的基础温度逐渐升高,但目前仍处于非稳态阶段。 q_3 虽大于 q_1 而形成垂直向下的"温度波",但在 q_2 的强烈影响下,温度波所及深度已基本趋于稳定。

根据上述热储模式,建议:

- 1. 在评价第四系热储的地热资源时,必须考虑到热储的动态特性,建立与之相应的评价方法,本文提出的模式似可作为评价热田地热资源的基础模式,
- 2.进一步勘探的方向应向热田南北两侧主边界断裂带展延,不应拘泥于在浅层热储的直接底部寻找高温热源(可能深不可及)、热液主通道或深部热储、

- 3. 应根据热田的侧向补给、水平对流动态型特点,建立相应的热田开发制式. 为达到长期、满发、稳发之目的,热田开发似应建立在"保持热储压力,截取动态补给"的原则上,而不应过早、超量地开采第四系热储内有限的积存热量.
- 4. 羊八井第四系热储结构松散,盖层发育较差,开发中应注意成井工艺及安全生产,制订相应的热田及环境保护措施.

参考文献

- [1] 佟伟等,西藏地热,科学出版社,1981.
- [2] 康文华等,西藏地热异常与地质构造,西藏地热能研究,1981,1:19-40。
- [3] ——,西藏地热能研究,1982,2:1-50.
- [4] 刘连捷、陈健,西藏地热能研究,1981,1: 41-50。王自瑞,同上。
- [5] 佟伟等,地球物理学报,1982.25(1982),1:34-40.